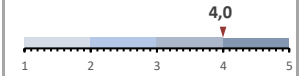


SOMMAIRE : ÉVÉNEMENTS (tous les éléments évalués ≥ 3.0)

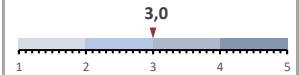
Grippe A

- Le CDC a publié son analyse de séquençage des échantillons provenant de l'infection humaine du **Texas** par la grippe A(H5N1), révélant qu'il est étroitement lié aux virus détectés chez les bovins laitiers (clade 2.3.4.4b, génotype B3.13) et qu'il contient une mutation d'adaptation aux mammifères (PB2-E627K)
- Le **Vietnam** a signalé son premier cas humain de grippe A(H9N2), chez un homme de 37 ans de la province de **Tien Giang** qui réside dans/à proximité d'un marché aux volailles

Pour en savoir plus



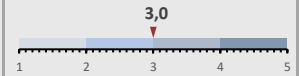
Pour en savoir plus



Influenza aviaire hautement pathogène

- L'Idaho** et **l'Ohio** ont tous deux confirmé les premières détections de l'IAHP H5N1 dans des troupeaux laitiers ; à ce jour, l'USDA a confirmé des détections d'IAHP dans des troupeaux laitiers au: **Texas(9)**, **Kansas(3)**, **Nouveau-Mexique(2)**, **Michigan(1)**, **Idaho(1)** et **Ohio(1)**
- Les chercheurs de l'**USDA** ont testé le lait, les prélèvements nasaux et le sang des vaches des troupeaux laitiers affectés et n'ont trouvé que des signes clairs de répllication du virus dans le pis ; ce qui indique que le virus peut être transmis d'une vache à l'autre par les machines à traire ou dans les gouttelettes de lait sur les vêtements ou les gants des travailleurs laitiers
- Le **Vietnam** a identifié un nouveau virus H5N1 réassorti, qui possède les protéines de surface de l'ancien clade 2.3.2.1c mais les gènes internes du nouveau clade 2.3.4.4b, chez les poulets et les canards de Barbarie ; cette nouvelle IAHP A(H5N1) réassortie semble également être à l'origine des cas humains récemment signalés au **Cambodge**

Pour en savoir plus



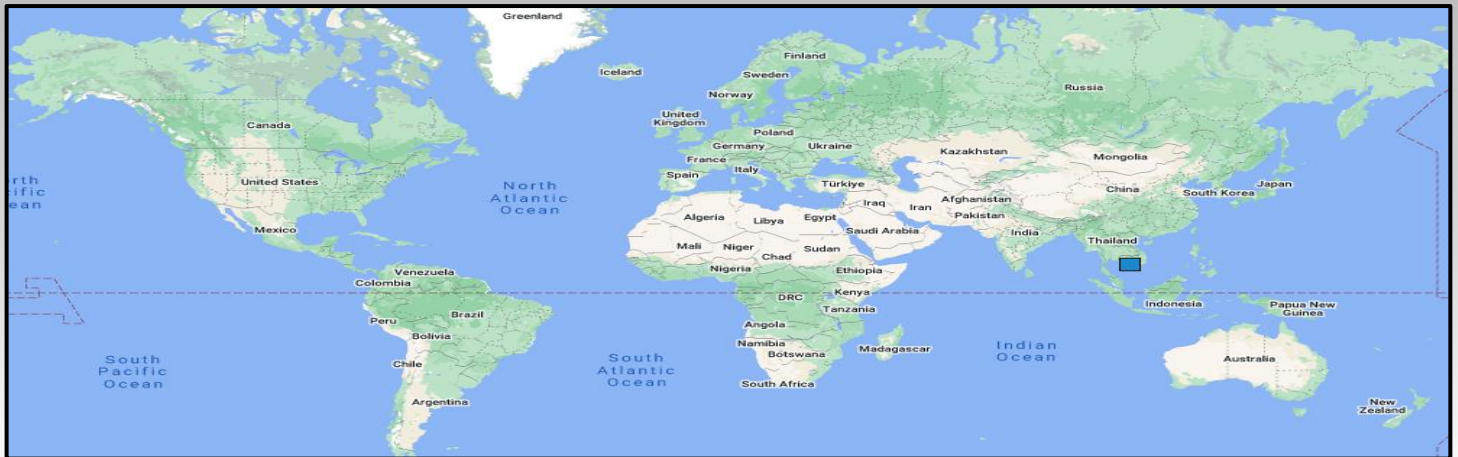
Pour en savoir plus



Pour en savoir plus



NOUVEAUX ÉVÉNEMENTS : (événements évalués > 2)



Grippe A (H9N2) chez une personne au Vietnam

Agent pathogène : virus ; **transmission** : contact direct, fomit, aérosol ; **espèces touchées par l'incident** : humain

① Le Vietnam a signalé son tout premier cas humain de grippe A(H9N2), chez un patient de 37 ans de la province méridionale de Tien Giang. Le patient a développé des symptômes de fièvre le 10 mars 2024 et s'est automédicamenté, mais pas régulièrement. Le 16 mars 2024, il a été diagnostiqué avec une pneumonie grave soupçonnée d'être causée par un virus et il est actuellement traité en isolement à l'hôpital des maladies tropicales de Hô Chi Minh-Ville. D'après les résultats de l'enquête épidémiologique, le lieu de résidence du patient se trouve dans un marché aux volailles. Cependant, aucune volaille malade ou morte n'a été signalée dans les environs de la zone où vit la famille du patient. Les contacts étroits sont surveillés et, au 7 avril 2024, aucun symptôme d'infection respiratoire n'a été détecté.

Pour en savoir plus

Évaluation moyenne	3,0
Nbre de signaux	2
Nbre d'évaluations	4

ACTIVITÉS CONTINUES : (événements cotés ≥ 2,4)

- Grippe A (H5N1) aux États-Unis** **N^{bre} de signaux : 05** **N^{bre} de semaines dans le rapport : 13** **Évaluation moyenne : 2,7 - 4,0**
- Les CDC ont publié leur [analyse de séquençage](#) d'échantillons provenant de l'infection humaine du Texas par la grippe A(H5N1), révélant qu'il est étroitement lié aux virus détectés chez les bovins laitiers (clade 2.3.4.4b, génotype B3.13) et qu'il contient une mutation d'adaptation aux mammifères (PB2-E627K)
- Influenza aviaire hautement pathogène en Amérique du Nord** **N^{bre} de signaux : 24** **N^{bre} de semaines dans le rapport : 110** **Évaluation moyenne : 2,0 - 3,0**
- Le [Canada](#) n'a signalé aucune nouvelle éclosion d'IAHP chez des volailles domestiques au cours de la semaine dernière
 - Au cours de la semaine dernière, les [États-Unis](#) ont signalé des foyers d'IAHP chez des volailles commerciales dans les états suivants : Michigan(1) et Texas(1)
 - L'[Idaho](#) et l'[Ohio](#) ont tous deux confirmé les premières détections de l'IAHP H5N1 dans des troupeaux laitiers ; à ce jour, l'USDA a confirmé des détections d'IAHP dans des troupeaux laitiers dans les états suivants : Texas(9), Kansas(3), Nouveau-Mexique(2), Michigan(1), Idaho(1) et Ohio(1)
 - Le [Texas](#) a également confirmé l'IAHP chez trois chats présentant des signes cliniques dans les exploitations laitières affectées
 - Les [chercheurs de l'USDA](#) ont testé le lait, les prélèvements nasaux et le sang des vaches des troupeaux laitiers affectés et n'ont trouvé que des signes clairs de réplication du virus dans le pis ; indiquant que le virus peut être transmis de vache à vache via les machines à traire ou dans les gouttelettes de lait sur les vêtements ou les gants des travailleurs laitiers
- Influenza aviaire hautement pathogène en Asie** **N^{bre} de signaux : 02** **N^{bre} de semaines dans le rapport : 135** **Évaluation moyenne : 2,0 - 3,0**
- Le [Vietnam](#) a identifié un nouveau virus H5N1 réassorti, qui possède les protéines de surface de l'ancien clade 2.3.2.1c mais les gènes internes du nouveau clade 2.3.4.4b, chez les poulets et les canards de Barbarie ; cette nouvelle IAHP A(H5N1) réassortie semble également être à l'origine des cas humains récemment signalés au Cambodge
 - Les [Philippines](#) ont confirmé l'IAHP H5N1 chez un oiseau domestique du centre de Luçon
- Rage aux États-Unis** **N^{bre} de signaux : 01** **N^{bre} de semaines dans le rapport : 03** **Évaluation moyenne : 2,5**
- Depuis mars 2022, >30 cas de rage du raton laveur ont été détectés au [Vermont](#), le long du lac Champlain, près de la frontière Québec-Vermont ; le risque d'introduction de la rage du raton laveur au Québec a augmenté de manière significative et les résidents des Cantons de l'Est et de la Montérégie sont priés d'être vigilants et de signaler toute observation d'animaux sauvages soupçonnés d'être atteints de la rage
- Influenza aviaire hautement pathogène en Europe** **N^{bre} de signaux : 03** **N^{bre} de semaines dans le rapport : 172** **Évaluation moyenne : 2,0**
- Les [Pays-Bas](#) et l'[Allemagne](#) ont signalé l'IAHP H5N1 chez des oiseaux sauvages
 - Un résumé de la situation globale de l'IAHP en Europe est [disponible ici](#)
- Influenza aviaire hautement pathogène en Afrique** **N^{bre} de signaux : 01** **N^{bre} de semaines dans le rapport : 69** **Évaluation moyenne : 2,0**
- L'[Afrique du Sud](#) a signalé l'IAHP H5 chez des oiseaux sauvages du Cap occidental
- Influenza aviaire hautement pathogène en Antarctique** **N^{bre} de signaux : 01** **N^{bre} de semaines dans le rapport : 08** **Évaluation moyenne : 2,0**
- Les [chercheurs](#) soupçonnent que l'IAHP pourrait être à l'origine de la mort de plus de 532 manchots Adélie découverts le mois dernier sur l'île Heroïna, et des milliers d'autres seraient morts ; cependant, les tests sur le terrain n'ont pas été concluants

CONCLUSIONS SCIENTIFIQUES ET RAPPORTS :

Coronavirus

- ◆ *“Bat species assemblage predicts coronavirus prevalence”* [Pour en savoir plus](#)

Grippe

- ◆ *“Drivers for a pandemic due to avian influenza and options for One Health mitigation measures”* [Pour en savoir plus](#)
- ◆ *“Long-Distance Avian Migrants Fail to Bring 2.3.4.4b HPAI H5N1 Into Australia for a Second Year in a Row”* [Pour en savoir plus](#)
- ◆ *“Long-term co-circulation of multiple influenza A viruses in pigs, Guangxi, China”* [Pour en savoir plus](#)
- ◆ OMS – Dossier de ressources de santé publique pour les pays confrontés à des épidémies de grippe chez les animaux : lignes directrices révisées [Pour en savoir plus](#)

Fièvre aphteuse

- ◆ *“Seroprevalence and molecular detection of foot and mouth disease virus in cattle in selected districts of Wolaita Zone, Southern Ethiopia”* [Pour en savoir plus](#)

Variole du simienne

- ◆ *“Co-Circulating Monkeypox and Swinepox Viruses, Democratic Republic of the Congo, 2022”* [Pour en savoir plus](#)
- ◆ ECDC - Mise à jour épidémiologique - Épidémie de mpox causée par le clade I du virus Monkeypox en République démocratique du Congo [Pour en savoir plus](#)

Vecteurs et maladies à transmission vectorielle

- ◆ OPS - Mise à jour épidémiologique - Augmentation des cas de dengue dans la Région des Amériques - 29 mars 2024 [Pour en savoir plus](#)
- ◆ *“Molecular epidemiology identifies the expansion of the DENV2 epidemic lineage from the French Caribbean Islands to French Guiana and mainland France, 2023 to 2024”* [Pour en savoir plus](#)
- ◆ *“Crimean–Congo haemorrhagic fever virus uses LDLR to bind and enter host cells”* [Pour en savoir plus](#)
- ◆ *“Animal Exposure Model for Mapping Crimean-Congo Hemorrhagic Fever Virus Emergence Risk”* [Pour en savoir plus](#)
- ◆ *“Unravelling the genomic origins of lumpy skin disease virus in recent outbreaks”* [Pour en savoir plus](#)
- ◆ *“Towards modelling tick-virus interactions using the weakly pathogenic Sindbis virus: Evidence that ticks are competent vectors”* [Pour en savoir plus](#)

Autre

- ◆ *“Detection of Rat Hepatitis E Virus in Pigs, Spain, 2023”* [Pour en savoir plus](#)
- ◆ *“Geographic Disparities in Domestic Pig Population Exposure to Ebola Viruses, Guinea, 2017–2019”* [Pour en savoir plus](#)
- ◆ France - Bulletins hebdomadaires de veille sanitaire internationale du 09/04/2024 [Pour en savoir plus](#)
- ◆ ECDC - Rapport sur les menaces liées aux maladies transmissibles, 31 mars - 6 avril 2024, semaine 14 [Pour en savoir plus](#)
- ◆ Rapport mondial de surveillance des maladies SHIC - avril 2024 [Pour en savoir plus](#)

Mise en garde

Le présent rapport de renseignement vise à fournir de l'information aux gestionnaires de risque au sujet des maladies émergentes et zoonotiques susceptibles de représenter une menace pour le Canada. Le rapport est fondé sur les signaux d'information acquis et sélectionnés à partir de 21 sources de surveillance des maladies par l'intermédiaire de KIWI, le Knowledge Integration using Web Based Intelligence (intégration des connaissances à l'aide de l'information Web) hébergé sur la plateforme informatique du Réseau canadien de renseignements sur la santé publique (RCRSP). Le rapport est fondé sur les activités de la communauté de pratique de la CMEZ et est susceptible de changer en fonction de l'évolution des besoins des utilisateurs.